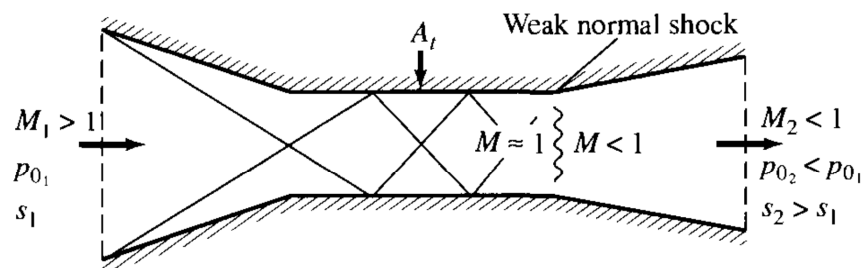


# 空气与气体动力学

张科

回顾：

1. 扩压器：



(b) Actual supersonic diffuser

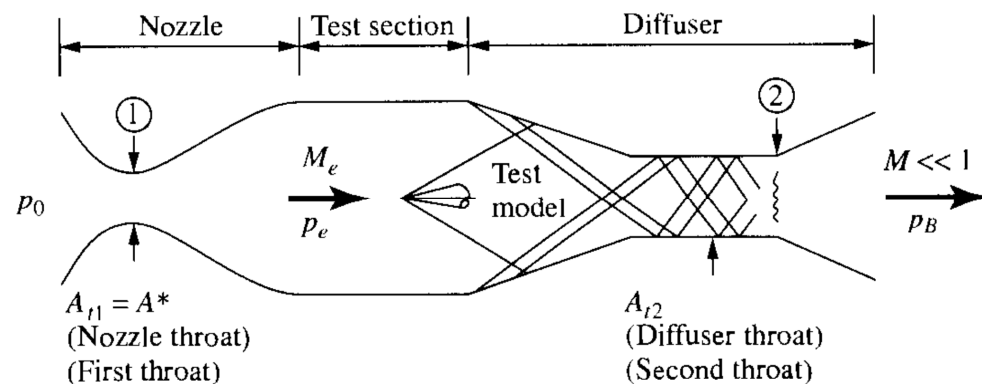
2. 超声速风洞：

3. 可压势流线化速度势方程：

$$\begin{cases} (1 - Ma_\infty^2) \frac{\partial^2 \hat{\phi}}{\partial x^2} + \frac{\partial^2 \hat{\phi}}{\partial y^2} = 0 \\ C_p \approx -\frac{2\hat{u}}{V_\infty} \end{cases}$$

适用条件：①小扰动(薄体、小攻角)

②亚、超声速： $Ma_\infty \leq 0.8$ ,  $Ma_\infty > 1.2$ ,  $Ma_\infty < 5$



## 13.3 Prandtl-Glauert 压缩性修正(10.4)

$$\beta^2 \frac{\partial^2 \hat{\phi}}{\partial x^2} + \frac{\partial^2 \hat{\phi}}{\partial y^2} = 0 \quad \beta^2 = 1 - Ma_\infty^2$$

仿射变换： $\xi = x, \eta = \beta y$  引入： $\bar{\phi}(\xi, \eta) = \beta \hat{\phi}(x, y)$

$$\begin{aligned} \frac{\partial \xi}{\partial x} &= 1, \frac{\partial \xi}{\partial y} = 0 \\ \frac{\partial \eta}{\partial x} &= 0, \frac{\partial \eta}{\partial y} = \beta \end{aligned}$$

$$\begin{aligned} \bar{\phi}(\xi, \eta) = \beta \hat{\phi}(x, y) \quad &\longrightarrow \quad \frac{\partial \hat{\phi}}{\partial x} = \frac{1}{\beta} \frac{\partial \bar{\phi}}{\partial \xi} \frac{\partial \xi}{\partial x} = \frac{1}{\beta} \frac{\partial \bar{\phi}}{\partial \xi} \quad \longrightarrow \quad \frac{\partial^2 \hat{\phi}}{\partial x^2} = \frac{1}{\beta} \frac{\partial^2 \bar{\phi}}{\partial \xi^2} \frac{\partial \xi}{\partial x} = \frac{1}{\beta} \frac{\partial^2 \bar{\phi}}{\partial \xi^2} \\ &\quad \frac{\partial \hat{\phi}}{\partial y} = \frac{1}{\beta} \frac{\partial \bar{\phi}}{\partial \eta} \frac{\partial \eta}{\partial y} = \frac{\partial \bar{\phi}}{\partial \eta} \quad \frac{\partial^2 \hat{\phi}}{\partial y^2} = \frac{\partial^2 \bar{\phi}}{\partial \eta^2} \frac{\partial \eta}{\partial y} = \beta \frac{\partial^2 \bar{\phi}}{\partial \eta^2} \end{aligned}$$

$$\beta^2 \frac{\partial^2 \hat{\phi}}{\partial x^2} + \frac{\partial^2 \hat{\phi}}{\partial y^2} = 0 \quad \longrightarrow \quad \beta^2 \frac{1}{\beta} \frac{\partial^2 \bar{\phi}}{\partial \xi^2} + \beta \frac{\partial^2 \bar{\phi}}{\partial \eta^2} = 0$$

$$\frac{\partial^2 \bar{\phi}}{\partial \xi^2} + \frac{\partial^2 \bar{\phi}}{\partial \eta^2} = 0 \quad \nabla^2 \bar{\phi} = 0 \quad \text{不可压势方程！！}$$

# 13.3 Prandtl-Glauert 压缩性修正(10.4)

2.  $(x, y)$  空间可压流动 :

$$\beta^2 \frac{\partial^2 \hat{\phi}}{\partial x^2} + \frac{\partial^2 \hat{\phi}}{\partial y^2} = 0$$

$\hat{\phi}(x, y), y = f(x)$  翼面

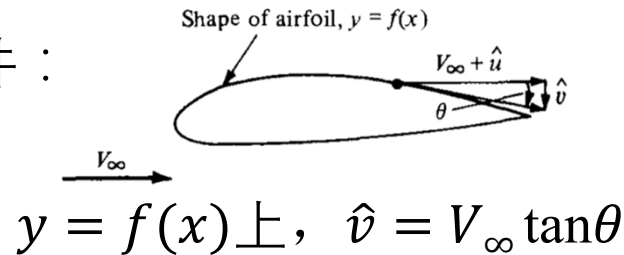
$(\xi, \eta)$  空间不可压流动 :

$$\frac{\partial^2 \bar{\phi}}{\partial \xi^2} + \frac{\partial^2 \bar{\phi}}{\partial \eta^2} = 0$$

$\bar{\phi}(\xi, \eta), \eta = q(\xi)$  翼面

$$\begin{aligned} \xi &= x, \eta = \beta y \\ \bar{\phi} &= \beta \hat{\phi} \end{aligned}$$

边界条件 :



$\eta = q(\xi)$  上,  $\bar{v} = V_\infty \tan \theta$

$$\frac{\partial \hat{\phi}}{\partial y} = V_\infty \frac{df}{dx}$$

$$\frac{\partial \hat{\phi}}{\partial y} = \frac{\partial \bar{\phi}}{\partial \eta}$$

$$\frac{\partial \bar{\phi}}{\partial \eta} = V_\infty \frac{dq}{d\xi}$$

$$\frac{df}{dx} = \frac{dq}{d\xi}$$

翼型保持不变 !

相同翼型 :  $(x, y)$  空间可压流动  $\rightarrow$   $(\xi, \eta)$  空间不可压流动!

# 13.3 Prandtl-Glauert 压缩性修正(10.4)

3. 压强系数 :

$$\beta^2 \frac{\partial^2 \hat{\phi}}{\partial x^2} + \frac{\partial^2 \hat{\phi}}{\partial y^2} = 0 \quad \xrightarrow[\bar{\phi} = \beta \hat{\phi}]{\xi = x, \eta = \beta y} \quad \frac{\partial^2 \bar{\phi}}{\partial \xi^2} + \frac{\partial^2 \bar{\phi}}{\partial \eta^2} = 0 \quad \text{两空间 } C_p, C_l \text{ 关系??}$$

$$C_p = -\frac{2\hat{u}}{V_\infty} = -\frac{2}{V_\infty} \frac{\partial \hat{\phi}}{\partial x} = -\frac{2}{V_\infty} \frac{1}{\beta} \frac{\partial \bar{\phi}}{\partial \xi} \quad \frac{\partial \hat{\phi}}{\partial x} = \frac{1}{\beta} \frac{\partial \bar{\phi}}{\partial \xi}$$

$(\xi, \eta)$  空间不可压流动 :  $\frac{\partial \bar{\phi}}{\partial \xi} = \bar{u}$  ( $\bar{u}, \bar{v}$  为变换空间  $(\xi, \eta)$  不可压流动扰动速度。)

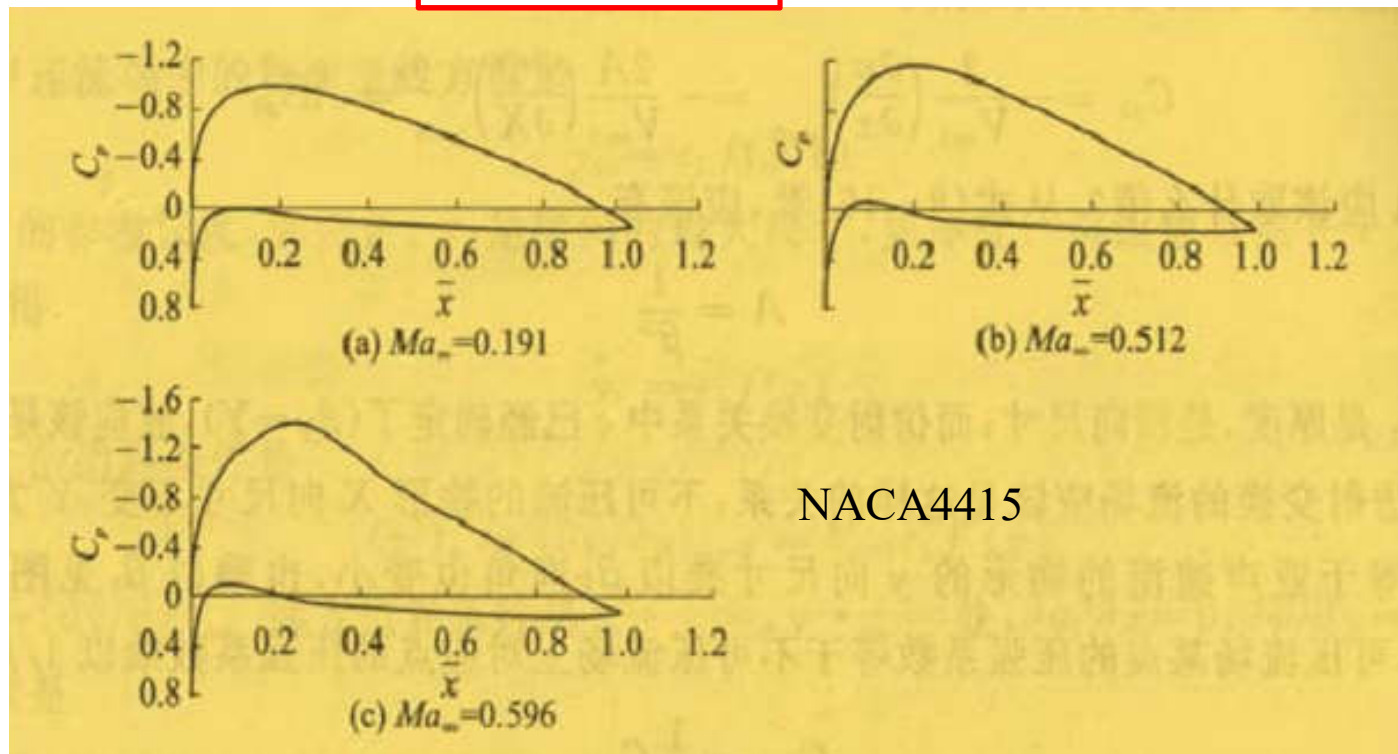
→  $C_p = \frac{1}{\beta} \left( -\frac{2\bar{u}}{V_\infty} \right) \quad \boxed{C_{p,0} = -\frac{2\bar{u}}{V_\infty}, \text{不可压流动压强系数}} \quad (\text{小扰动!})$

相同翼型 :  $C_p = \frac{1}{\beta} C_{p,0} \quad \beta = \sqrt{1 - Ma_\infty^2} \quad (\text{压缩性因子})$

$\boxed{C_p = \frac{C_{p,0}}{\sqrt{1 - Ma_\infty^2}}}$  Prandtl-Glauert 法则 ! (亚声速相似律)

## 13.3 Prandtl-Glauert 压缩性修正(10.4)

$$C_p = \frac{C_{p,0}}{\sqrt{1-Ma_\infty^2}}$$



## 13.3 Prandtl-Glauert 压缩性修正(10.4)

$$C_p = \frac{C_{p,0}}{\sqrt{1-Ma_\infty^2}}$$

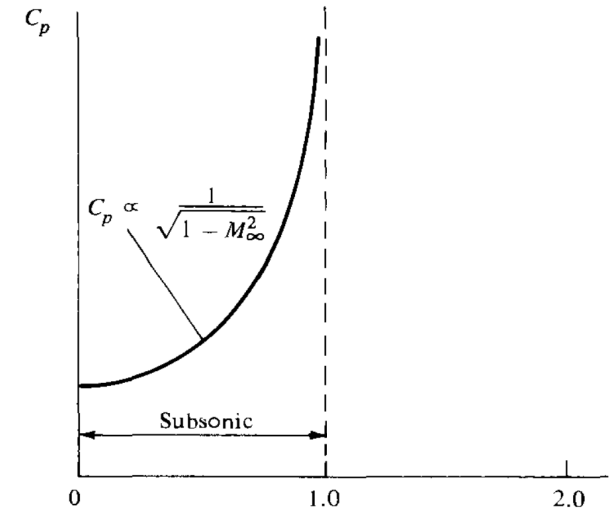
1922, 1928

$$C_l = \frac{C_{l,0}}{\sqrt{1-Ma_\infty^2}}$$

$$C_m = \frac{C_{m,0}}{\sqrt{1-Ma_\infty^2}}$$

无粘不可压： $D = 0$

亚声速( $0.3 < Ma < 1$ )可压： $D = 0$



## 13.3 Prandtl-Glauert 压缩性修正(10.4)

$$C_p = \frac{C_{p,0}}{\sqrt{1-Ma_\infty^2}} \quad C_l = \frac{C_{l,0}}{\sqrt{1-Ma_\infty^2}} \quad C_m = \frac{C_{m,0}}{\sqrt{1-Ma_\infty^2}}$$

例：低速  $C_p = -0.3$ ，求  $Ma = 0.6$  时  $C_p$ 。

解：

$$C_p = \frac{C_{p,0}}{\sqrt{1-Ma_\infty^2}} = \frac{-0.3}{\sqrt{1-0.6^2}} = -0.375$$

例：不可压对称翼型  $C_l = 2\pi\alpha$ ，求  $Ma = 0.7$  时  $C_l$ 。

解：

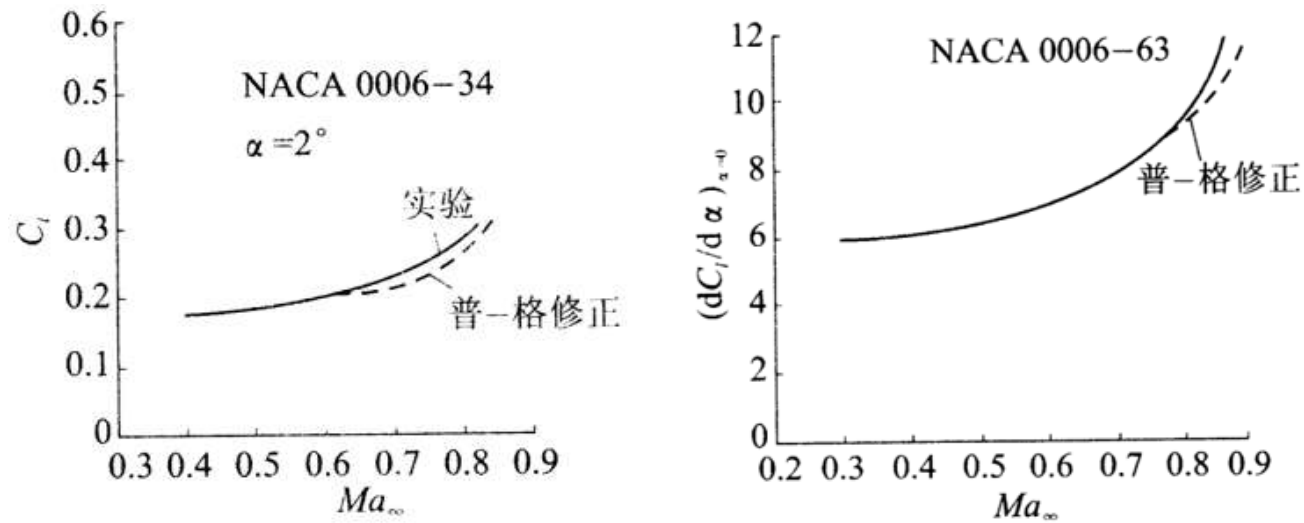
$$C_l = \frac{C_{l,0}}{\sqrt{1-Ma_\infty^2}} = \frac{2\pi\alpha}{\sqrt{1-0.7^2}} = 8.8\alpha$$

$\frac{8.8}{2\pi} = 1.4$ ，升力线斜率增加40%。

亚声速( $0.3 < Ma < 1$ ) :  $Ma \uparrow C_l \uparrow a_0 \uparrow$



## 13.3 Prandtl-Glauert 压缩性修正(10.4)



$0.5 < Ma < 0.8$ , 普朗特-格劳厄特修正与实验差别较大。

# 13.3 Prandtl-Glauert 压缩性修正(10.4)

$$C_p = \frac{C_{p,0}}{\sqrt{1-Ma_\infty^2}}$$

4. 压缩性修正改进：二战期间可压气动特性研究

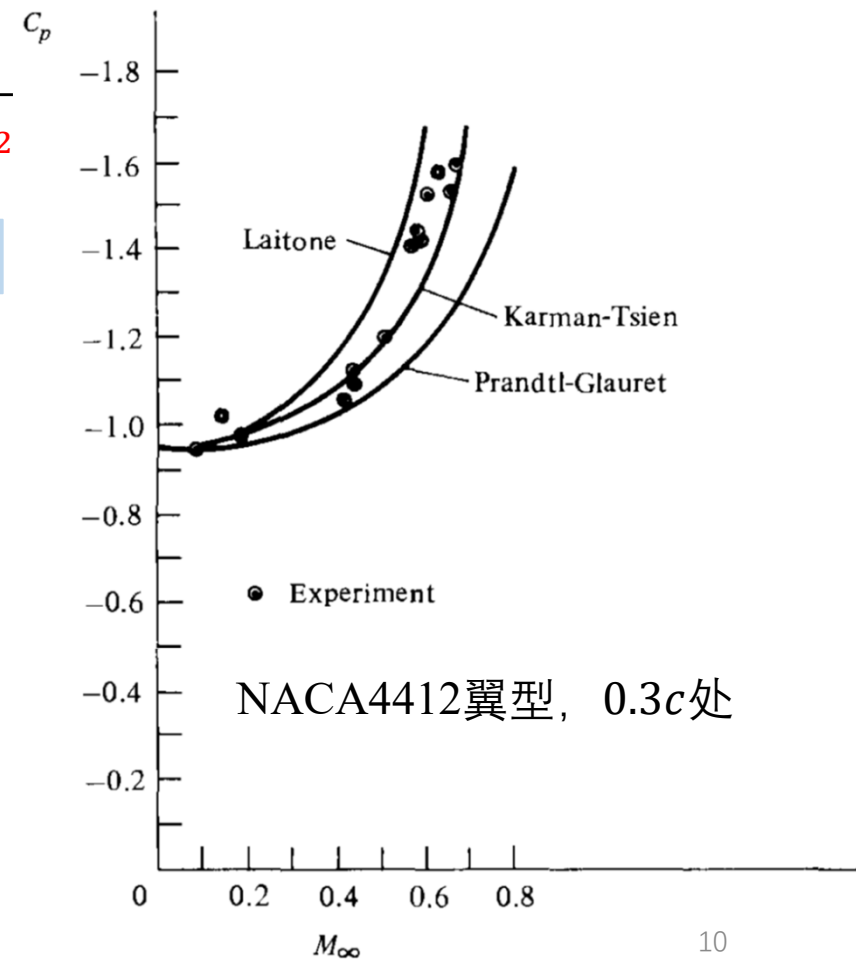
Karman-Tsien 法则：
$$C_p = \frac{C_{p,0}}{\sqrt{1-Ma_\infty^2 + \left( \frac{Ma_\infty^2}{1 + \sqrt{1-Ma_\infty^2}} \right) C_{p,0}/2}}$$

Laitone 法则：

与本地压强有关

$$C_p = \frac{C_{p,0}}{\sqrt{1-Ma_\infty^2 + \left( \frac{Ma_\infty^2 \{1 + [(\gamma-1)/2] Ma_\infty^2\}}{2\sqrt{1-Ma_\infty^2}} \right) C_{p,0}}}$$

非线性影响！



# 13.3 Prandtl-Glauert 压缩性修正(10.4)

5. 翼型 :

机翼 : 戈泰特法则 (1946)

$$(C_{l1})_{Ma_\infty, \alpha, \bar{i}, \bar{f}} = \frac{1}{\beta} (C_{l3})_{0, \alpha, \bar{i}, \bar{f}}$$

$$(C_{m1})_{Ma_\infty, \alpha, \bar{i}, \bar{f}} = \frac{1}{\beta} (C_{m3})_{0, \alpha, \bar{i}, \bar{f}}$$

$$(C_{l1}^\alpha)_{Ma_\infty, \alpha, \bar{i}, \bar{f}} = \frac{1}{\beta} (C_{l3}^\alpha)_{0, \alpha, \bar{i}, \bar{f}}$$

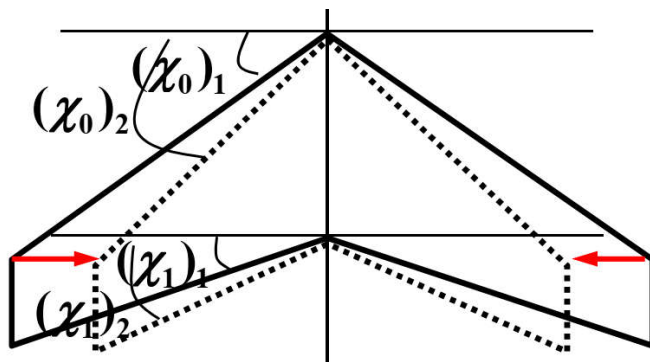
$$(C_{p1})_{Ma_\infty, \alpha, \bar{i}, \bar{f}, \lambda, \tan \chi, \eta} = \frac{1}{\beta} (C_{p3})_{0, \alpha, \bar{i}, \bar{f}, \beta\lambda, \frac{1}{\beta} \tan \chi, \eta}$$

$$(C_{M1})_{Ma_\infty, \alpha, \bar{i}, \bar{f}, \lambda, \tan \chi, \eta} = \frac{1}{\beta} (C_{M3})_{0, \alpha, \bar{i}, \bar{f}, \beta\lambda, \frac{1}{\beta} \tan \chi, \eta}$$

$$(C_{L1}^\alpha)_{Ma_\infty, \alpha, \bar{i}, \bar{f}, \lambda, \tan \chi, \eta} = \frac{1}{\beta} (C_{L3}^\alpha)_{0, \alpha, \bar{i}, \bar{f}, \beta\lambda, \frac{1}{\beta} \tan \chi, \eta}$$

机翼平面  
形状有关

展弦比、后掠角、梢根比



亚声速机翼对应不可压机翼：  
展弦比变小、后掠角变大、梢根比不变！

## 13.4 临界马赫数(10.5)

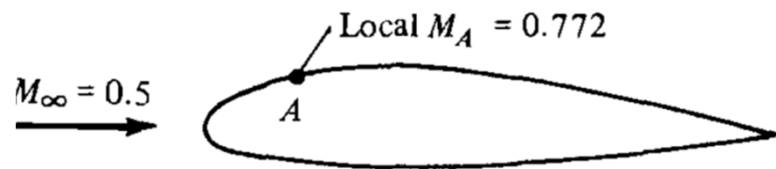
线化理论  $Ma < 0.8$ , 跨声速 ( $0.8 < Ma < 1.2$ ) 非线性强, 理论复杂!

跨声速 ( $0.8 < Ma < 1.2$ ) 特性:

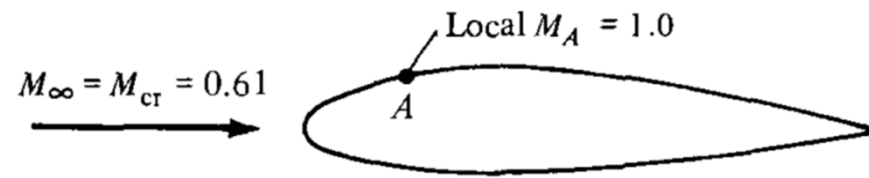


A: 最低压强点,  $Ma_A > Ma_\infty$

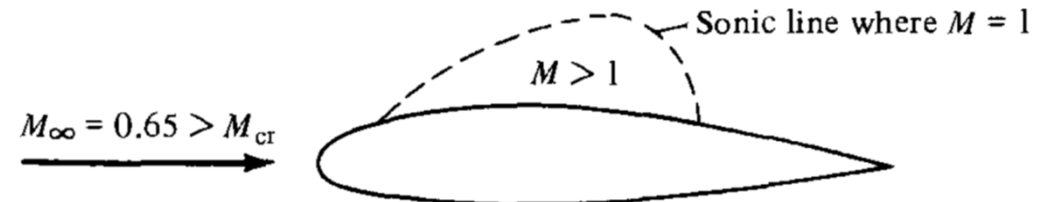
A 略早于  $t_{max}$



$Ma_\infty \uparrow, Ma_A \uparrow$



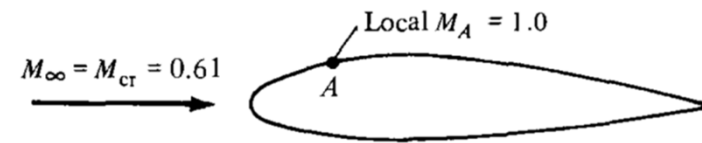
$Ma_A = 1$  时,  $Ma_\infty = Ma_{cr}$  临界马赫数!



$Ma_\infty > Ma_{cr}$  时翼型阻力急剧增加!!

# 13.4 临界马赫数(10.5)

临界马赫数  $Ma_{cr}$  如何确定？



$$C_{p,A} = \frac{p_A - p_\infty}{0.5 \rho V_\infty^2} = \left( \frac{p_A}{p_\infty} - 1 \right) \frac{2}{\gamma Ma_\infty^2} = \frac{2}{\gamma Ma_\infty^2} \left[ \left( \frac{1 + \frac{\gamma-1}{2} Ma_\infty^2}{1 + \frac{\gamma-1}{2} Ma_A^2} \right)^{\frac{\gamma}{\gamma-1}} - 1 \right]$$

$$\frac{p_0}{p} = \left( 1 + \frac{\gamma-1}{2} Ma^2 \right)^{\frac{\gamma}{\gamma-1}}$$

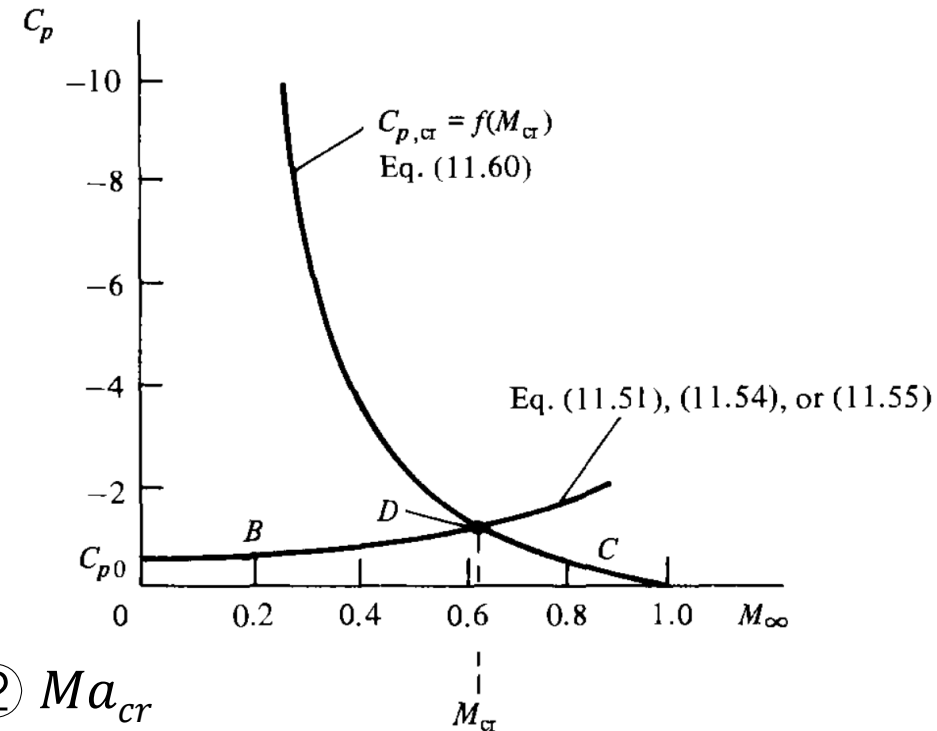
临界马赫数  $Ma_\infty = Ma_{cr} \rightarrow Ma_A = 1$

$$C_{p,cr} = \frac{2}{\gamma Ma_{cr}^2} \left[ \left( \frac{1 + \frac{\gamma-1}{2} Ma_{cr}^2}{1 + \frac{\gamma-1}{2}} \right)^{\frac{\gamma}{\gamma-1}} - 1 \right] \quad (1)$$

等熵流参数关系，与翼型无关！

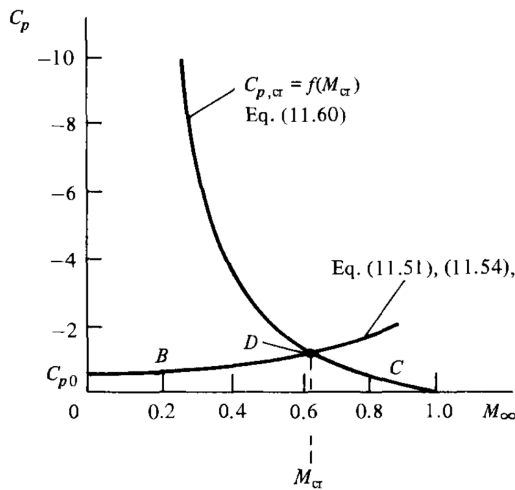
确定  $Ma_{cr}$  需  $C_{p,min}$  !

$$\text{压缩性修正: } C_p = \frac{C_{p,0}}{\sqrt{1 - Ma_\infty^2}} \quad (2)$$



确定  $Ma_{cr}$ : 不可压  $C_{p,0A} \rightarrow C_{p,0A}(Ma_\infty) \rightarrow (1) + (2) \rightarrow Ma_{cr}$

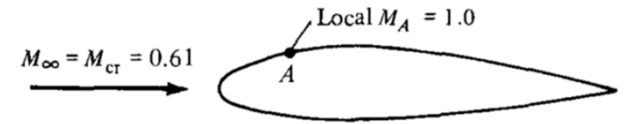
# 13.4 临界马赫数(10.5)



$$C_{p,cr} = \frac{2}{\gamma Ma_{cr}^2} \left[ \left( \frac{1 + \frac{\gamma-1}{2} Ma_{cr}^2}{1 + \frac{\gamma-1}{2}} \right)^{\frac{\gamma}{\gamma-1}} - 1 \right] \quad (1)$$

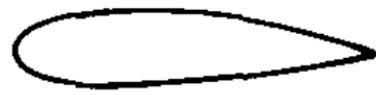
压缩性修正：
$$C_p = \frac{C_{p0}}{\sqrt{1 - Ma_\infty^2}} \quad (2)$$

临界马赫数  $Ma_\infty$  与  $C_{p,0min}$  有关，  
受厚度、弯度、迎角影响！

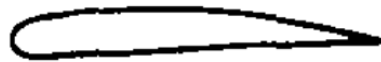


厚度影响: ??

$$\bar{t} \uparrow, |C_{p,0min}| \uparrow$$



Thick airfoil

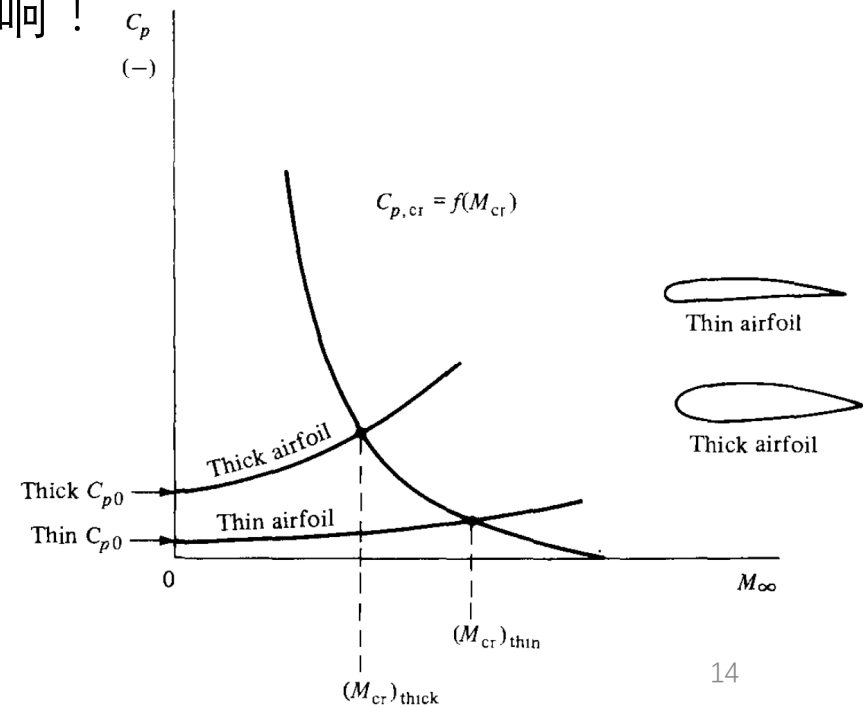


Thin airfoil

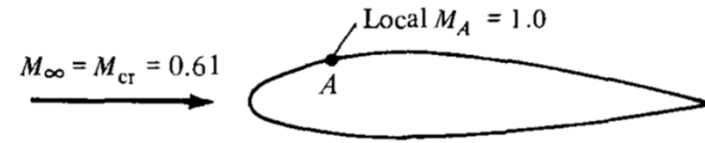
$$C_p \approx -\frac{2\hat{u}}{V_\infty} \rightarrow \bar{t} \uparrow, \hat{u} \uparrow, |C_p| \uparrow$$

$$\bar{t} \uparrow, |C_{p,0min}| \uparrow, Ma_{cr} \downarrow$$

$$Ma_{cr厚} < Ma_{cr薄}$$



## 13.4 临界马赫数(10.5)



下临界马赫数 $Ma_{cr}$ : 上翼面开始出现 $Ma_{max} = 1$ 时来流 $Ma$ ;

上临界马赫数 $Ma$ : 翼面上全为超声速流时来流 $Ma$ ;

上下临界马赫数 $Ma$ 间为跨声速区间!! 与厚度、弯度、迎角有关!

**$\bar{t} = 0.01, 0.05, 0.10$**  对应跨声速区间:

**$Ma_\infty = 0.946 \sim 1.051, 0.833 \sim 1.143, 0.717 \sim 1.219$**

# 13.5阻力发散 $Ma$ , 声障(10.6)

1.  $C_d \sim Ma$ :

①  $a - c$ :  $Ma_\infty < Ma_{cr}$ ,  $C_d$  不随  $Ma_\infty$  变化!

$Ma_\infty \uparrow$ ,  $Re \uparrow$ , 摩擦阻力  $\downarrow$ ,

$\frac{dC_p}{dx} \uparrow$ , 分离区变大, 压差阻力  $\uparrow$

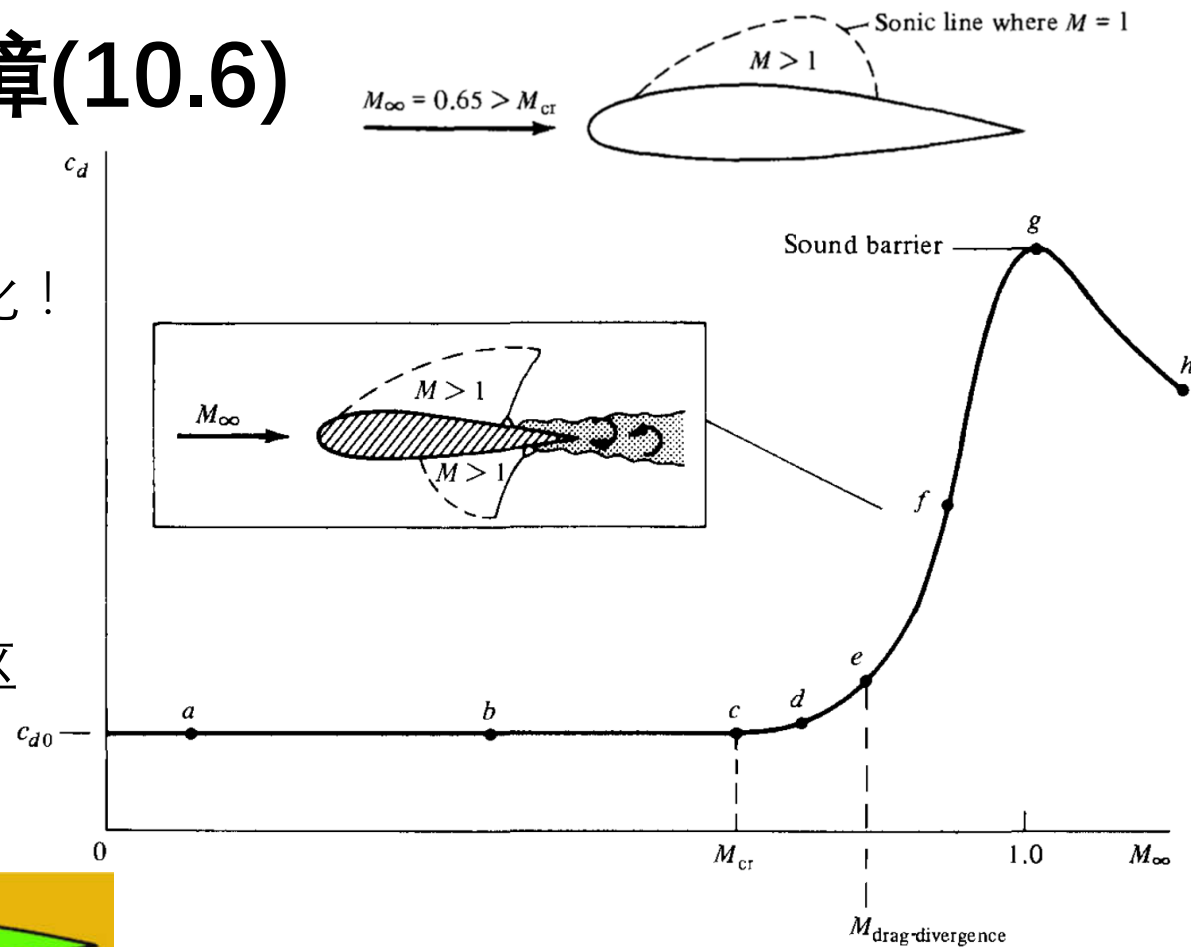
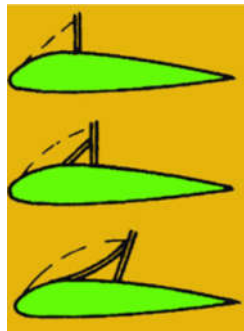
$\rightarrow C_d$  变化小;

②  $c - d$ :  $Ma_\infty > Ma_{cr}$ , 上表面超声速区

$\rightarrow$  产生激波  $\rightarrow$  阻力增加

③  $c - d - e$ :  $Ma_\infty \uparrow$ , 超声速区  $\uparrow$ ,

$\rightarrow$  激波  $\uparrow \rightarrow$  阻力  $\uparrow$





# 13.5阻力发散 $Ma$ ，声障(10.6)

1.  $C_d \sim Ma$ :

④e:  $Ma_\infty \uparrow$ , 上下翼面超声速区扩大,  
激波 $\rightarrow$ 逆压梯度 $\uparrow$ , 流动分离 $\uparrow$   
 $\rightarrow$ 阻力开始急剧增加(阻力发散)。

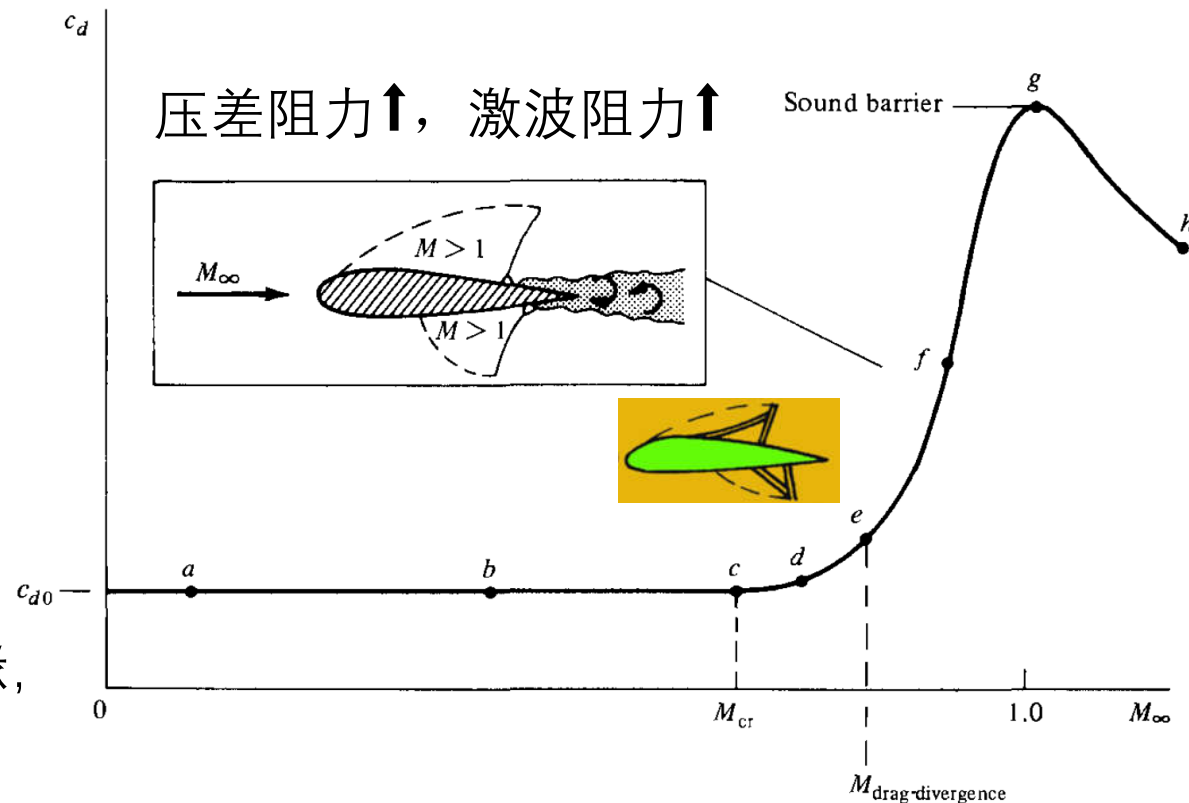
阻力发散 $Ma$ :

$$dC_d/dMa_\infty = 0.1$$

$g$ :  $C_d$ 可增加到10  $C_{d,0}$ 。

⑤g:  $Ma_\infty \rightarrow 1$ , 上下翼面激波移至后缘,  
 $\rightarrow$ 阻力达最大 $C_{dmax}$ 。

⑥g - f:  $Ma_\infty > 1$ , 进入超声速流,  
 $Ma_\infty \uparrow C_d \downarrow$



压差阻力 $\uparrow$ , 激波阻力 $\uparrow$

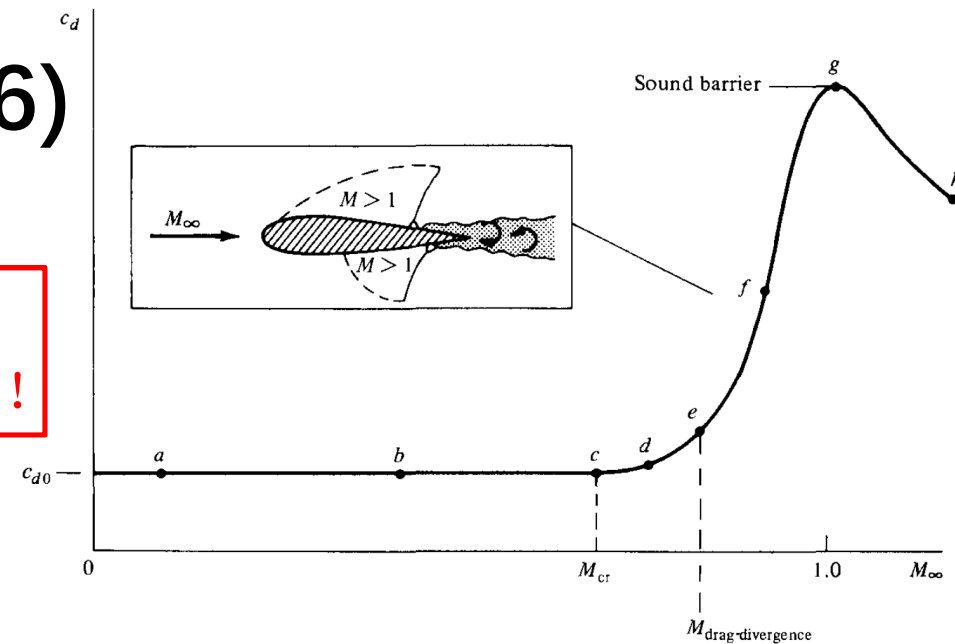
进入超声速流之前，必须跨越极大阻力！！

# 13.5阻力发散 $Ma$ ，声障(10.6)

1.  $C_d \sim Ma$ :

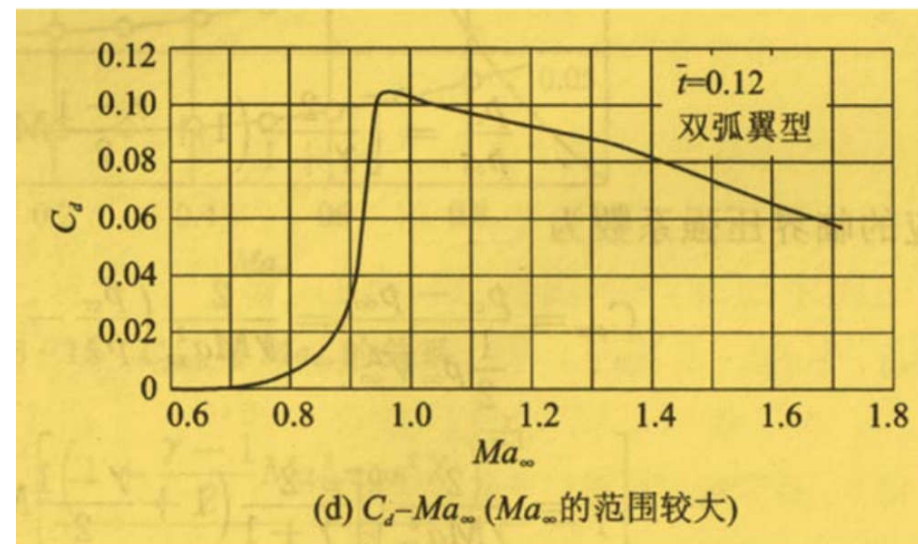
$Ma_\infty \rightarrow 1, C_d \uparrow \uparrow$ : 声障

需足够动力，才能跨越声障，进入超声速区！



$$C_p = \frac{C_{p,0}}{\sqrt{1-Ma_\infty^2}} \quad Ma_\infty \rightarrow 1, C_p \rightarrow \infty??$$

$Ma_\infty \rightarrow 1$ , 上式不成立！！

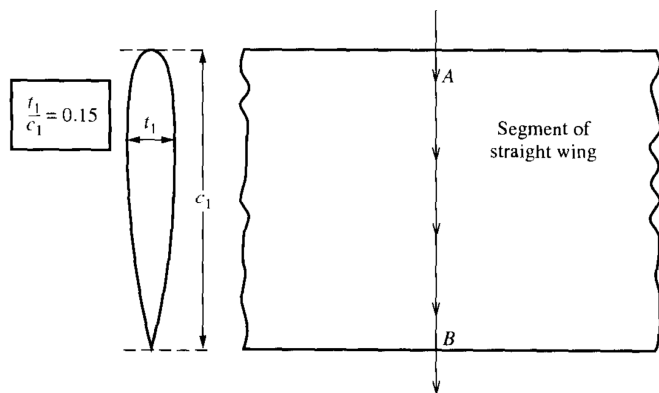


# 13.5阻力发散 $Ma$ ，声障(10.6)

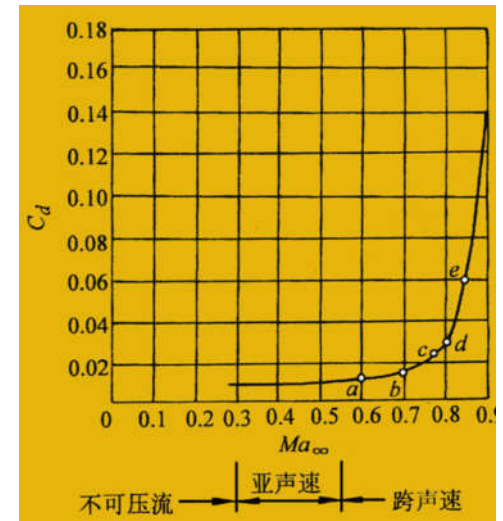
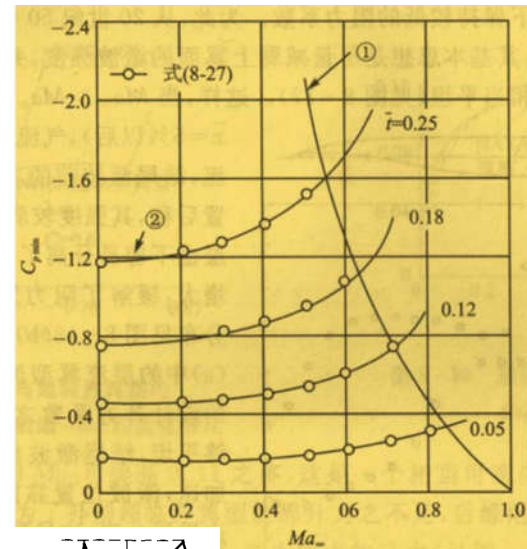
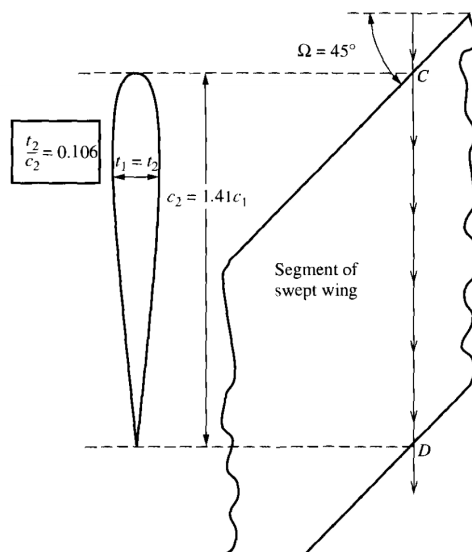
2. 如何减小 $C_d, C_{dmax}$ :  $C_{dmax} \rightarrow 2 \sim 3 C_{d0}$

①增大 $Ma_{cr}$ : 减小 $\bar{t}$ !!

薄翼型；后掠翼。



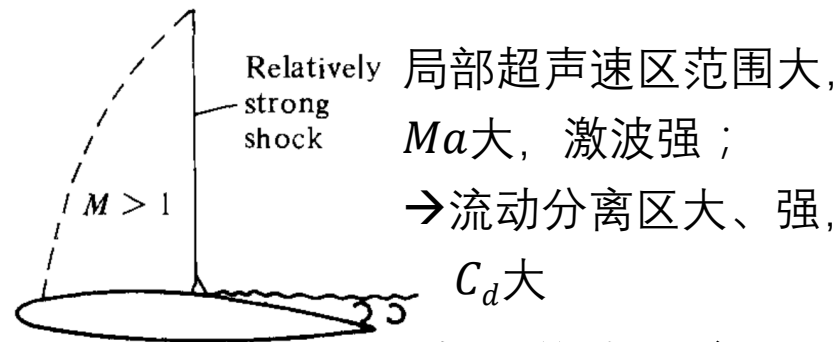
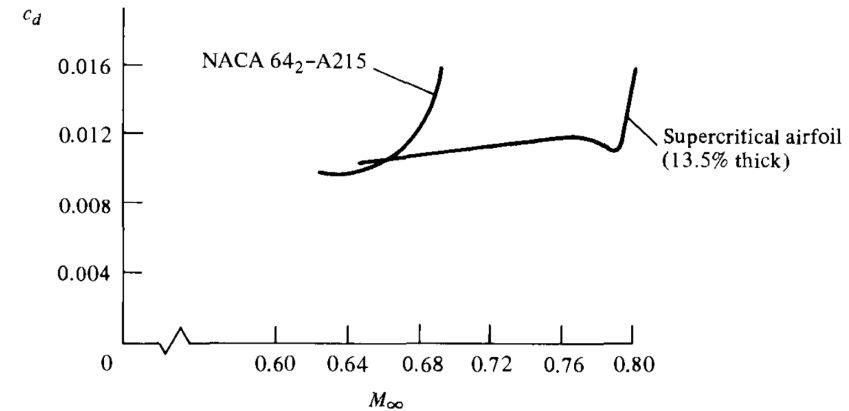
后掠翼 $\bar{t} \downarrow, Ma_{cr} \uparrow$ 。



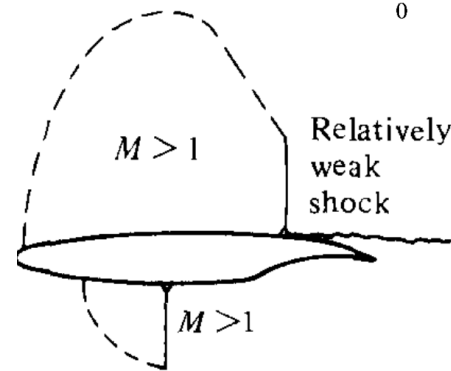
# 13.5阻力发散 $Ma$ ，声障(10.7)

2. 如何减小 $C_d, C_{dmax}$ :

②增大 $Ma_{cr}$ 与 $Ma_{阻力发散}$ 间隔：1965，超临界翼型！

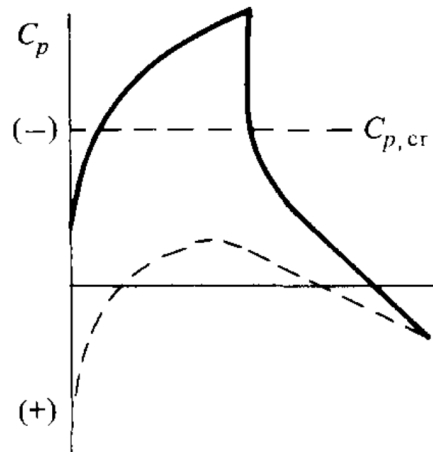


局部超声速区范围大， $Ma$ 大，激波强；  
→流动分离区大、强， $C_d$ 大  
减小激波强度！??

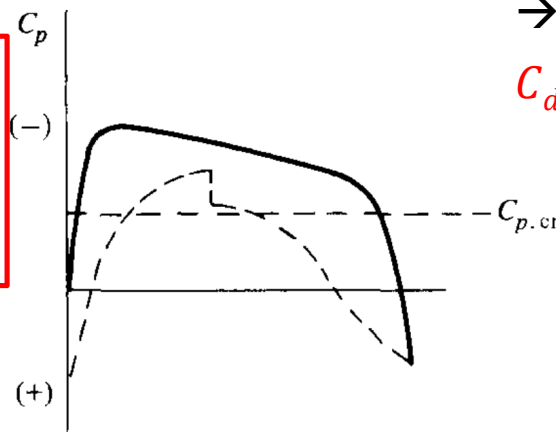


超临界翼型：上表面平坦， $C_p$ 变化小；  
 $Ma$ 小，激波较弱；  
局部超声速区范围小，  
→分离区小，弱；

$C_d$ 增加缓慢， $Ma_{阻力发散}$ 大



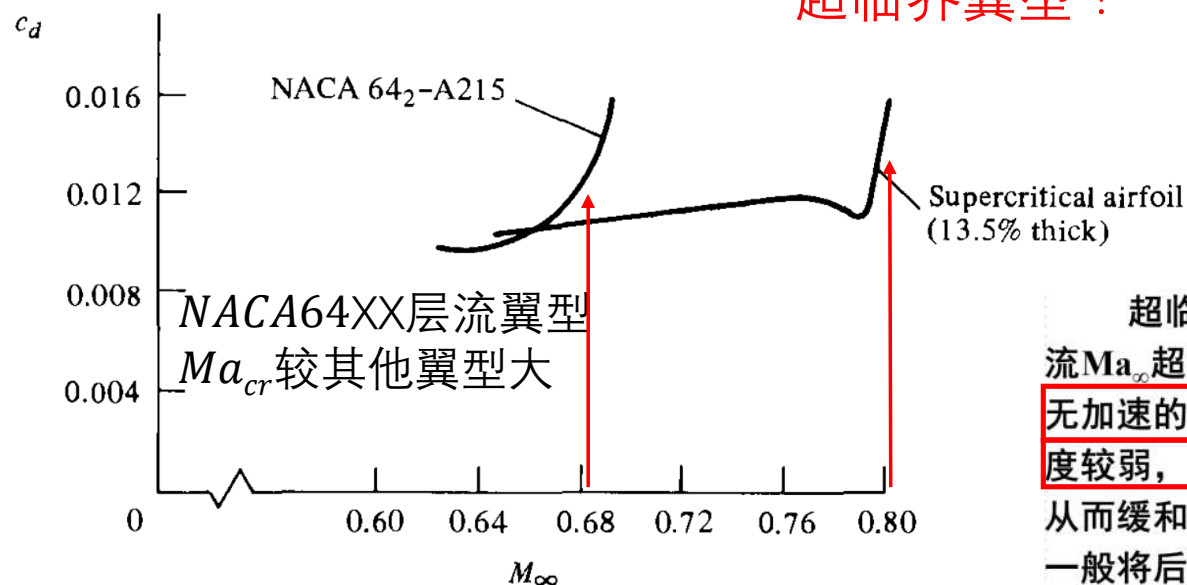
上表面 $C_p$ 变化→  
→波前 $Ma$ 大小→  
局部超声速区强度



# 13.5阻力发散 $Ma$ ，声障(10.6)

2. 如何减小 $C_d, C_{dmax}$ :

②增大 $Ma_{cr}$ 与 $Ma_{阻力发散}$ 间隔：1965, Whitecomb  
超临界翼型！



超临界翼型的几何特点是，上翼面曲率较小比较平坦，使来流 $Ma_\infty$ 超过临界马赫数后，大约从距前缘5%弦长处沿上翼面为一无加速的均匀超声速，这样尾激波前的超声速马赫数较低，激波强度较弱，且伸展范围不大，波后逆压梯度较小，边界层不易分离，从而缓和了阻力发散现象。为了补偿超临界翼型前段升力的不足，一般将后缘附近的下表面做成内凹形以增大翼型后段弯度使后段能产生较大升力，称为后缘加载。

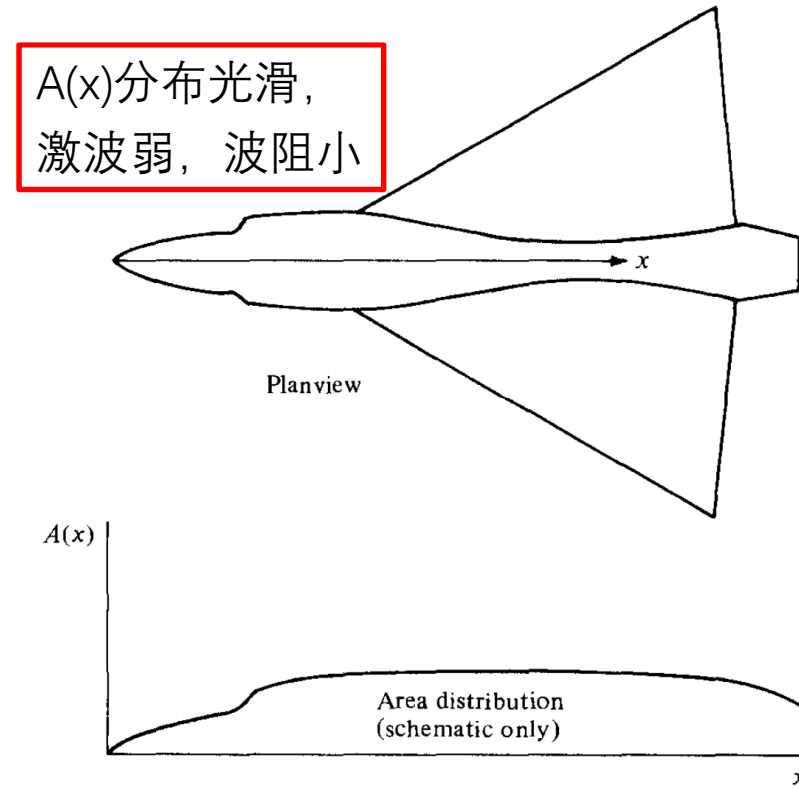
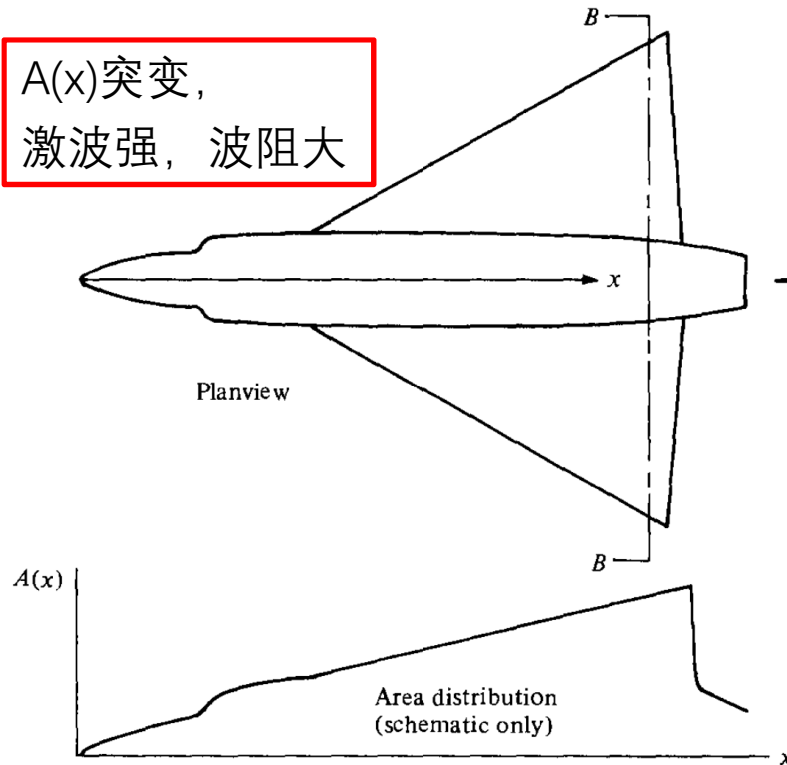
## 13.5 阻力发散 $Ma$ , 声障(11.4)

2. 如何减小  $C_d, C_{dmax}$ :

外壳截面变化光滑的超声速子弹比截面变化不连续的, 飞行速度大。

③ 面积律: 1950s, Whitecomb

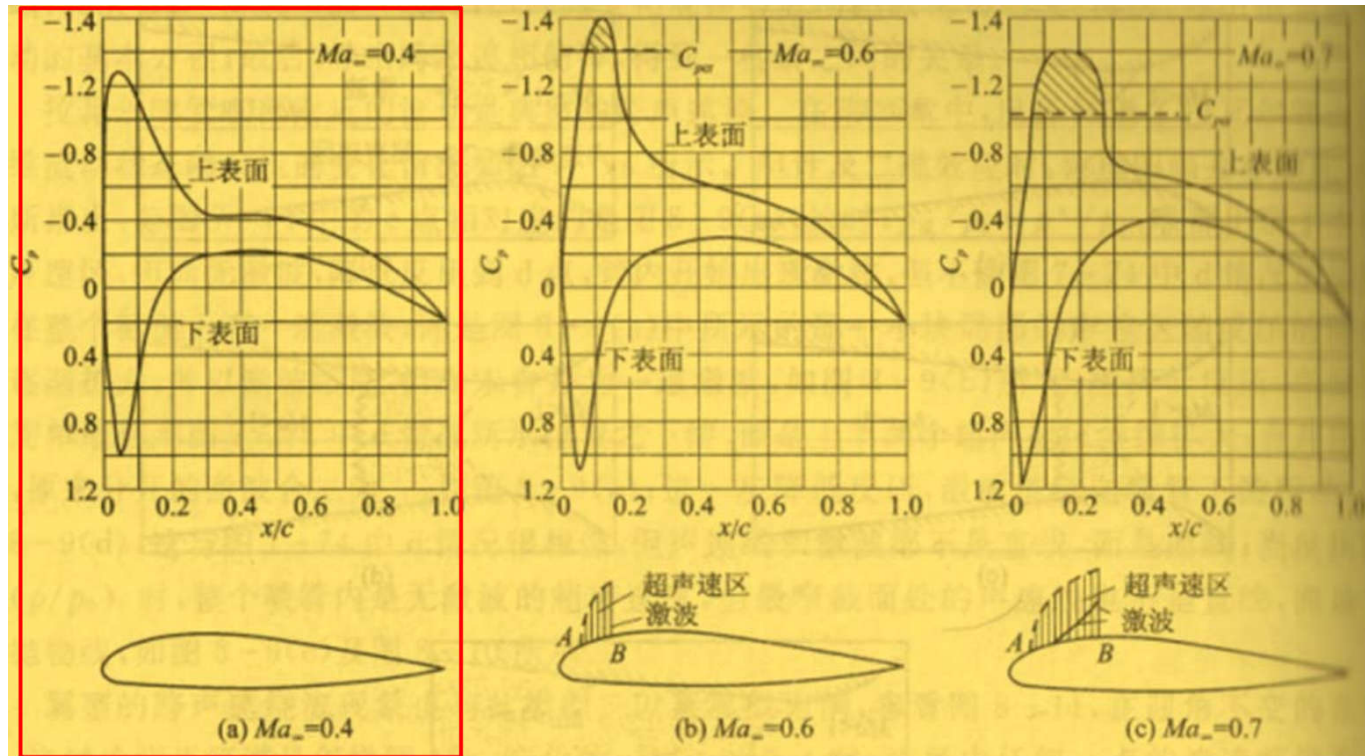
改变  $A(x)$  分布, 使其更连续  $\rightarrow$  减小  $C_{Dmax}$ 。





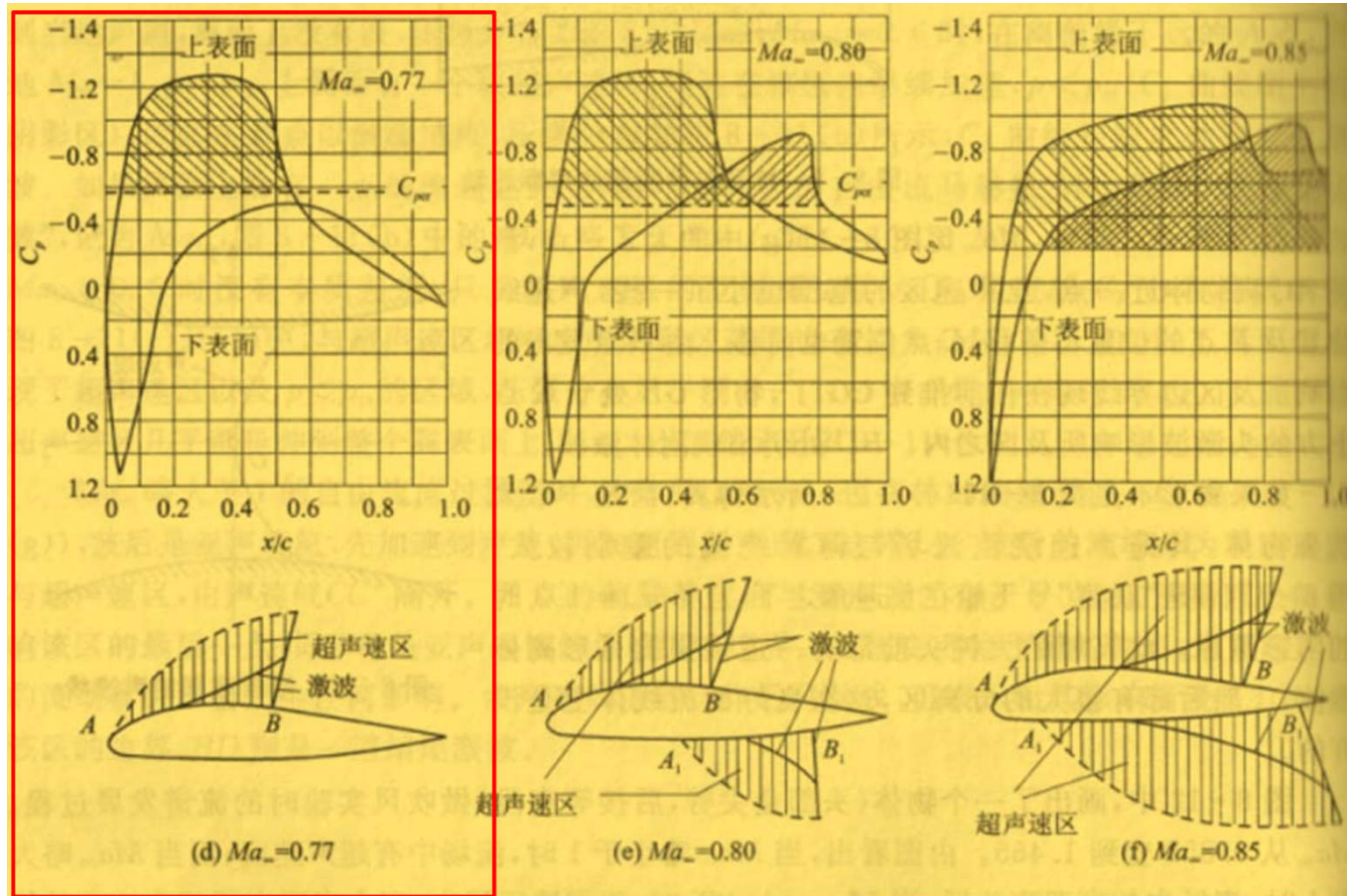
# 13.5阻力发散 $Ma$ ，声障(11.4)

## 3. 跨声翼型绕流特征:



## 13.5阻力发散 $Ma$ ，声障(11.4)

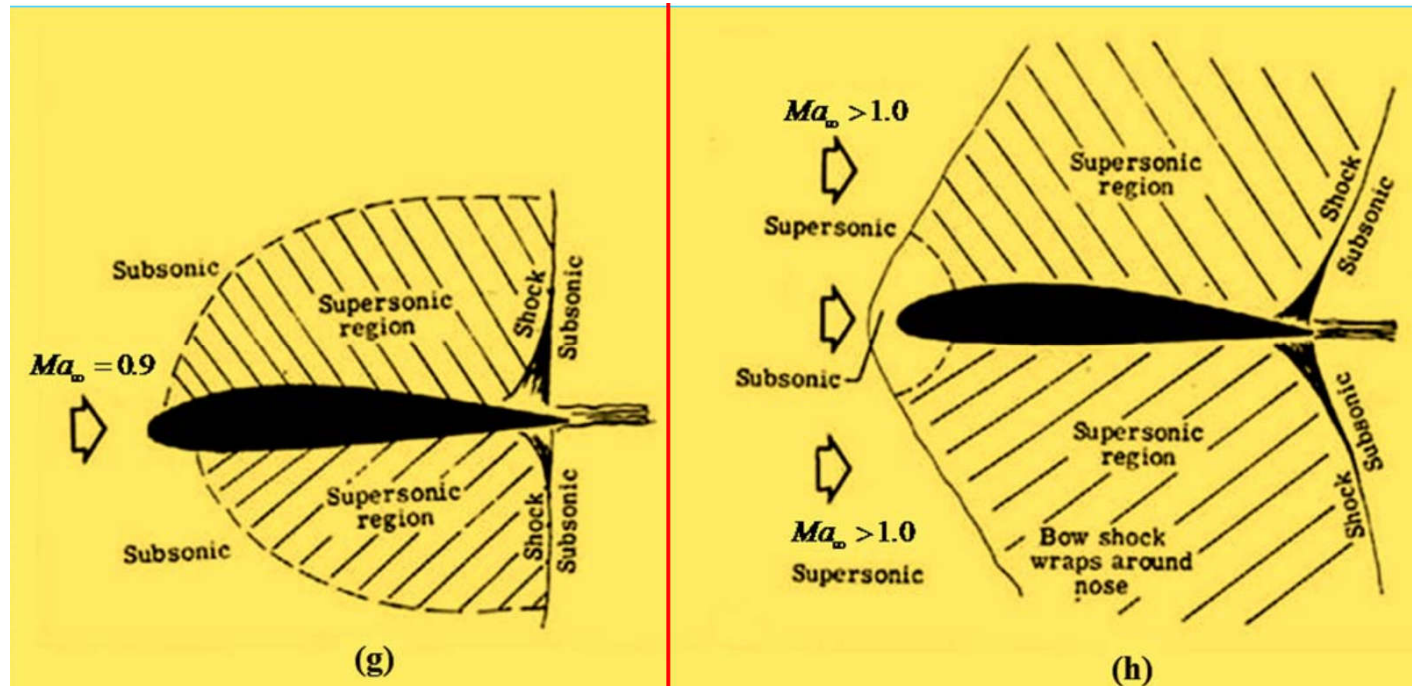
### 3. 跨声翼型绕流特征:





## 13.5阻力发散 $Ma$ ，声障(11.4)

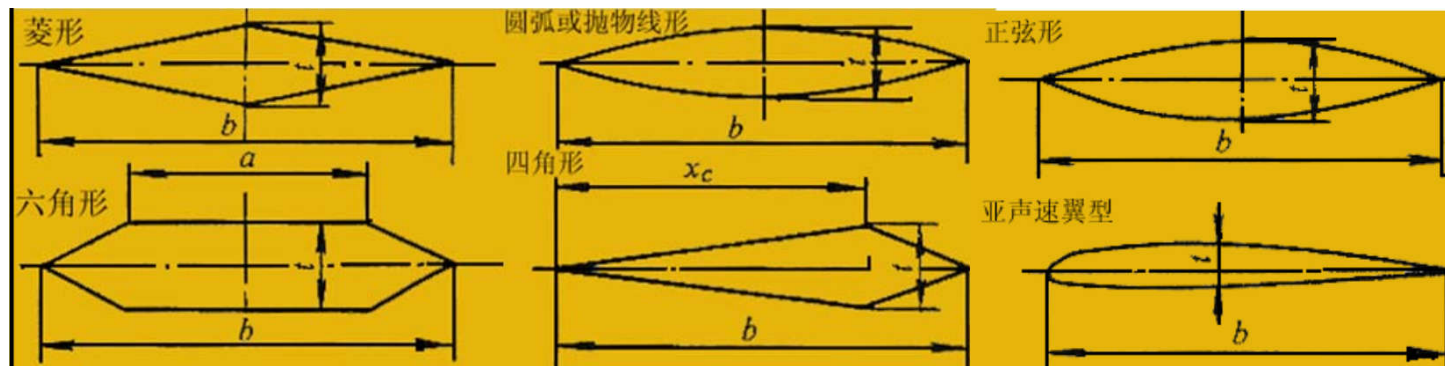
### 3. 跨声翼型绕流特征:



## 13.6 超声速翼型、绕流特点(10.8)

1947, X-1首次超声速飞行, 跨越声障后, 飞行平顺!

### 1. 超声速翼型特点:

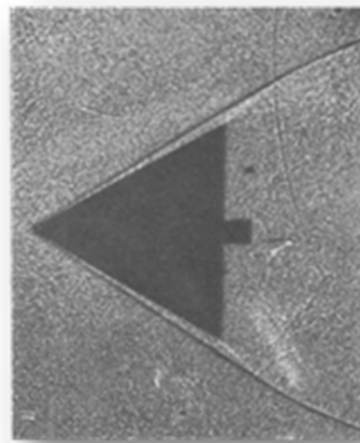
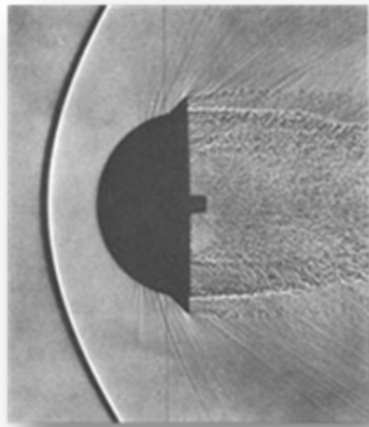


- 1) 尖头尖尾;
- 2) 对称翼型; →减小波阻!
- 3) 厚度小。

低超声速飞行器, 小圆头, 兼顾低速性能 (起飞和着陆)。

## 13.6 超声速翼型、绕流特点(10.8)

2. 超声速翼型绕流特点:



- 1) 钝头体：脱体激波；
  - 2) 尖头体：斜激波
- 波阻！

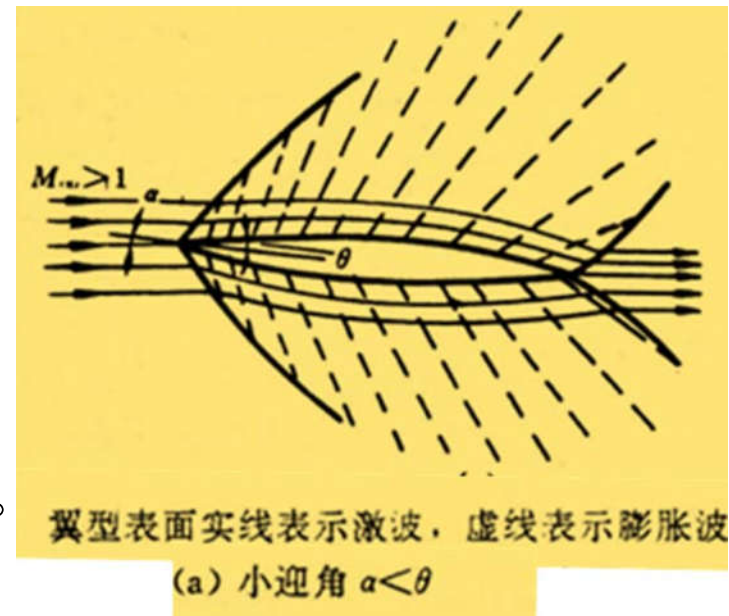
## 13.6超声速翼型、绕流特点(10.8)

### 2.超声速翼型绕流特点:

(1)  $0 < \alpha < \theta$ :

上下翼面前缘均有斜激波；  
上翼面激波较弱，下翼面较强；  
激波后加速膨胀；  
后缘上下翼面均有斜激波；  
后缘汇聚后，气流方向相同，压强相等。

双弧翼，前缘半顶角 $\theta$



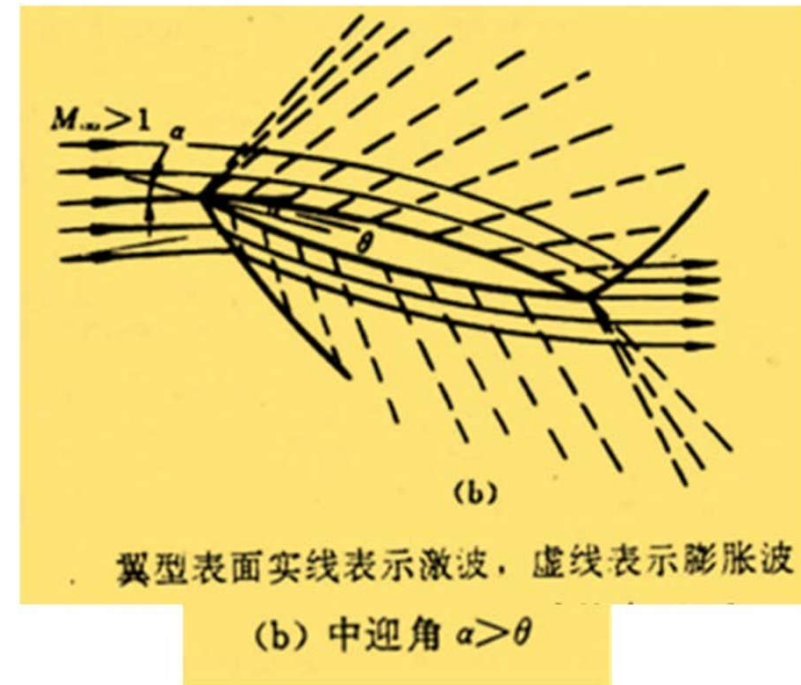
## 13.6 超声速翼型、绕流特点(10.8)

2. 超声速翼型绕流特点:

双弧翼，前缘半顶角 $\theta$

(2)  $\alpha > \theta$ :

前缘上翼面膨胀波，下翼面斜激波；  
上下翼面前后缘间膨胀波；  
后缘上翼面斜激波，下翼面膨胀波；  
后缘汇聚后，气流方向相同，压强相等。



作业：

复习笔记！

空气动力学书10.1, 10.2, 10.3